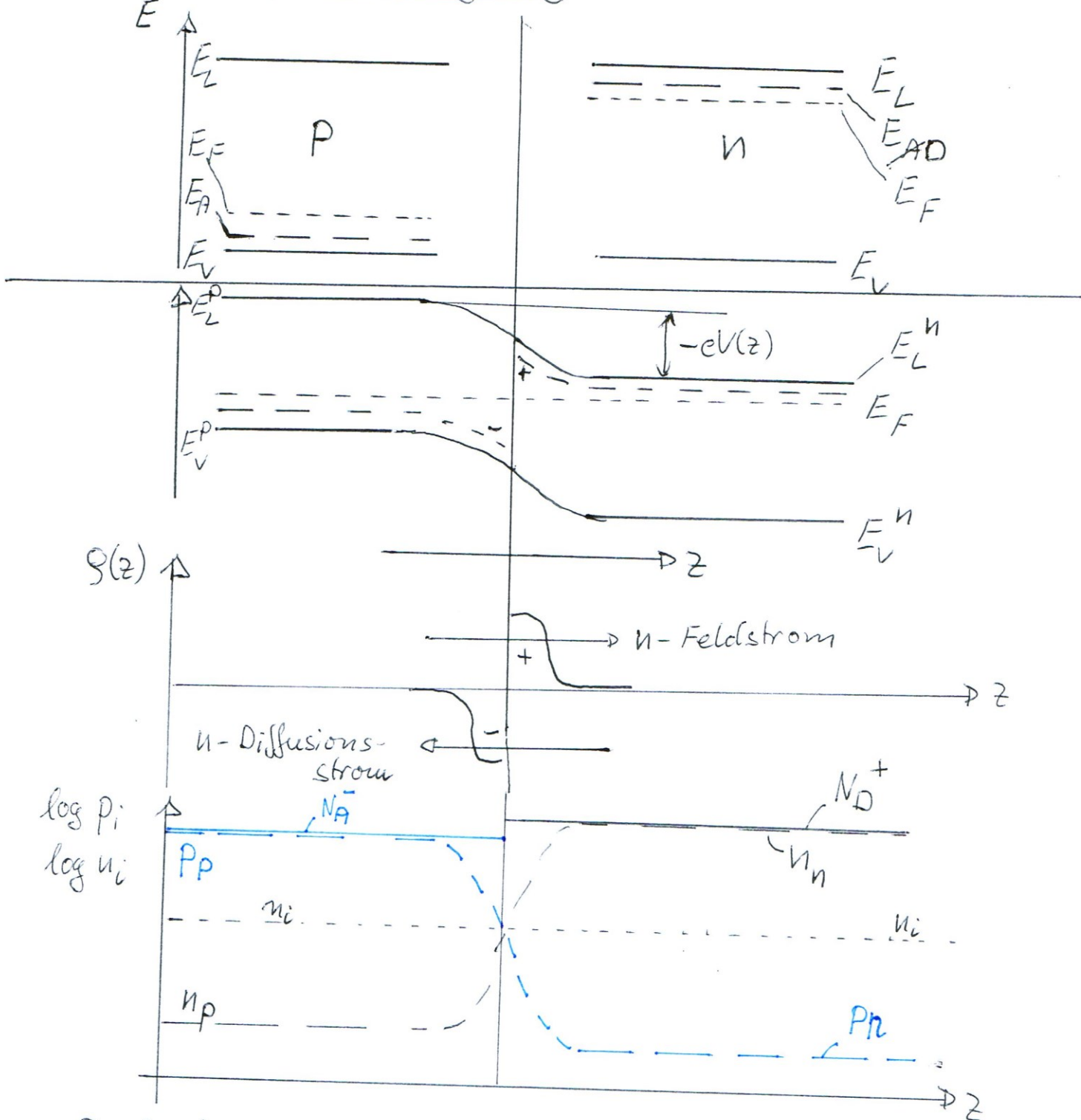


8.4a Der p-n Übergang

8.11



Beschreibung der Ladungsträgerdichte am p-n-Übergang über ein ortsschaffiges (macroscopisches) Potential $V(z)$
Poisson-Gleichung:

$$\frac{\partial^2 V(z)}{\partial z^2} = - \frac{\xi(z)}{\epsilon \epsilon_0}$$

Bauverbiegung in der Raumladungszone

$\S(2) + 0:$ P-Gebiet: $E_A \ll E_F \Rightarrow N_A^0 \rightarrow 0$
 P_p wird kleiner

n-Gebiet: $E_D \gg E_F \Rightarrow N_D^0 \rightarrow 0$
 N_n wird kleiner

→ Raumladung

Außenhalb der Raumladungszone: $N_D^+ \approx N_n^- \quad (n)$
 $N_A^- \approx P_p \quad (p)$

Majoritätsladungsträger n_n, P_p
 Minoritäts n_p, P_n

Elektronen und Löcher sind frei beweglich und
 Elektronen diffundieren von (n) → (p)
 Löcher " " " (p) → (n)

Abh. von z gilt:

$$n_i^2 = n \cdot p \rightarrow 2 \log n_i = \log n + \log p$$

Tief im (n) bzw. (p)-Gebiet gilt:

$$n_n = N_{\text{eff}}^L e^{-\frac{E_L^n - E_F}{k_B T}} ; \quad n_p = N_{\text{eff}}^L e^{-\frac{E_L^p - E_F}{k_B T}}$$

$$P_p = N_{\text{eff}}^V e^{-\frac{E_F - E_V^p}{k_B T}} ; \quad P_n = N_{\text{eff}}^V e^{-\frac{E_F - E_V^n}{k_B T}}$$

Maximalwert des Potentials $V(z)|_{\max} = V_D$

$$e^{V_D} = - (E_v^u - E_v^P)$$

$$\begin{aligned} n_n \cdot p_p &= N_{eff}^L N_{eff}^V e^{-\frac{E_L^u - E_V^P}{k_B T}} \\ n_i^2 &= N_{eff}^L N_{eff}^V e^{-\frac{E_L^u - E_V^u}{k_B T}} \end{aligned} \quad \left. \right\} \Rightarrow$$

$$\frac{n_n p_p}{n_i^2} = e^{-\frac{1}{kT} (E_L^u - E_V^P - E_L^u + E_V^u)} = e^{-\frac{1}{kT} (E_V^u - E_V^P)}$$

$$\ln \left(\frac{n_n p_p}{n_i^2} \right) = - \frac{E_V^u - E_V^P}{kT}$$

$$\boxed{eV_D = kT \ln \left(\frac{n_n p_p}{n_i^2} \right)}$$

bei wesentl. abweich
Dofierung
vorgegeben.

T im Reserverbereich oder niedriger $\rightarrow |eV_D| \propto E_g$

Raumladung \rightarrow elektr. Feld E .

E treibt Ladungsträger zur entgegenges. Diffusion.

Diffusionstromdichte $j^{Diff} = j_n^{Diff} + j_p^{Diff}$

Feldstromdichte $j^{Feld} = j_n^{Feld} + j_p^{Feld}$

$$\vec{j}^{\text{Diff}} = e \left(D_n \frac{\partial n}{\partial z} - D_p \frac{\partial p}{\partial z} \right)$$

$$\vec{j}^{\text{Feld}} = e(n\mu_n + p\mu_p)\mathcal{E}; \quad \mathcal{E} = \frac{\partial V}{\partial z}$$

Therm. Gleichgew.:

$$\vec{j}^{\text{Diff}} + \vec{j}^{\text{Feld}} = 0$$

$$\Rightarrow D_n \frac{\partial n}{\partial z} = n \mu_n \frac{\partial V}{\partial z} ; \quad D_p \frac{\partial p}{\partial z} = p \mu_p \frac{\partial V}{\partial z}$$

(Löcher und Elektronen entstehen und rekomb. paarweise)

Raumladungszone:

$$n(z) = N_{\text{eff}}^L e^{-\frac{1}{kT} (E_e^P - eV(z) - E_F)}$$

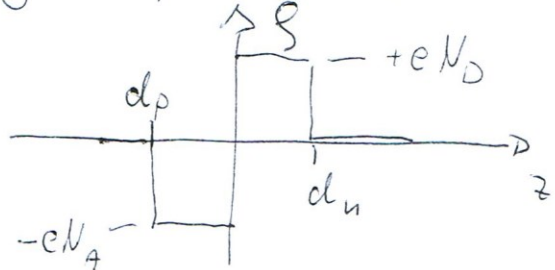
$$\frac{\partial n}{\partial z} = n \frac{e}{kT} \frac{\partial V}{\partial z}$$

$$\rightarrow D_n n \frac{e}{kT} \frac{\partial V}{\partial z} = n \mu_n \frac{\partial V}{\partial z} \Rightarrow \boxed{D_n = \frac{kT}{e} / \mu_n}$$

$$\text{Einstein-Bdg.: } \boxed{D_p = \frac{kT}{e} / \mu_p}$$

In Folgenden nehmen wir einen abrupten pn-Übergang an. \rightarrow Einfachere Rechnung aber quantitative Abweichung.

$$q(z) = \begin{cases} 0 & z < -d_p \\ -eN_A & -d_p < z < 0 \\ +eN_D & 0 < z < d_n \\ 0 & z > d_n \end{cases}$$

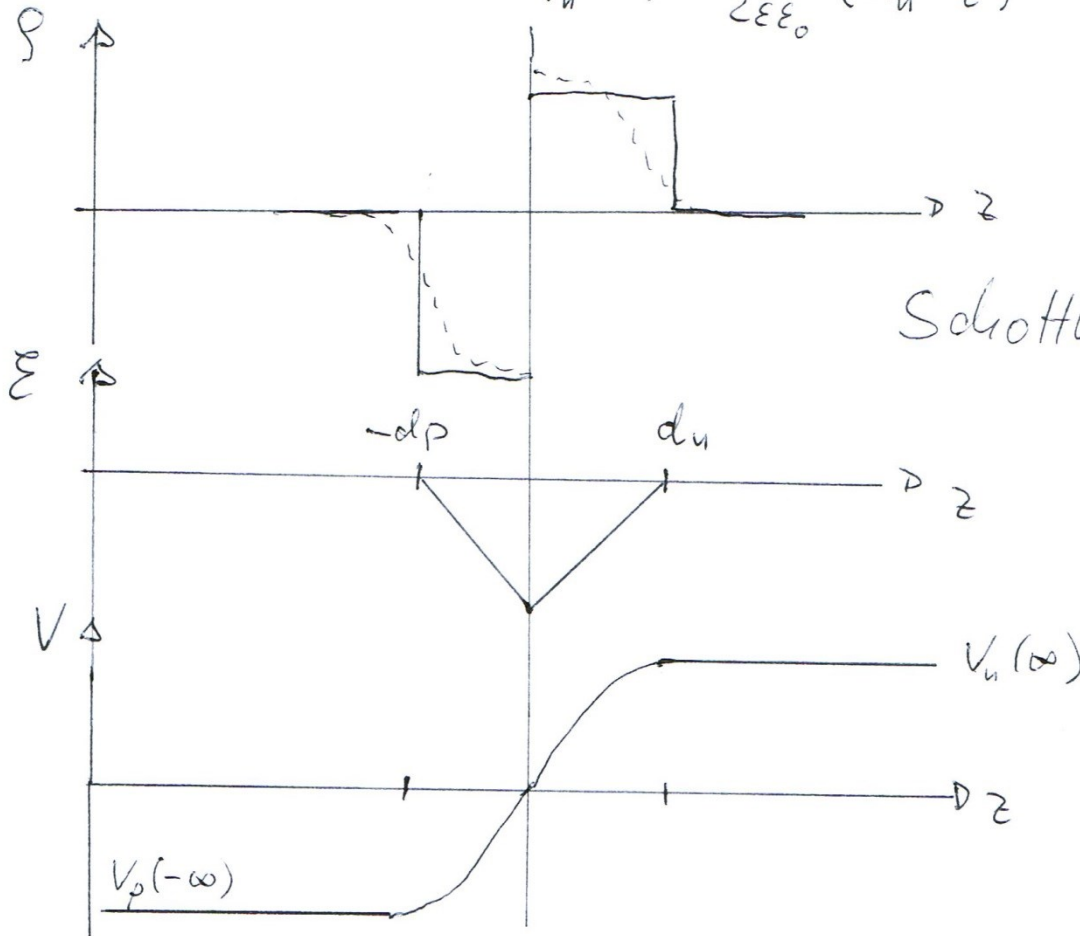


Poissongleichung im (n) - Gebiet

$$\frac{\partial^2 V(z)}{\partial z^2} \approx -\frac{eN_D}{\epsilon\epsilon_0}$$

$$\rightarrow E_z = -\frac{\partial V}{\partial z} = -\frac{e}{\epsilon\epsilon_0} N_D (d_n - z)$$

$$V(z) = V_n(\infty) - \frac{eN_D}{2\epsilon\epsilon_0} (d_n - z)^2$$



Schottky - Modell

Ladungsneutralität:

$$N_A d_p = N_D d_n$$

Kontinuität von $V(z)$

$$V_n(\infty) - \frac{eN_D}{2\epsilon\epsilon_0} d_n^2 = V_p(-\infty) + \frac{eN_A}{2\epsilon\epsilon_0} d_p^2$$

$$\rightarrow \frac{e}{2\epsilon\epsilon_0} (N_D d_n^2 + N_A d_p^2) = V_D$$

N_A, N_D durch Potenzungs konz. vorgegeben

$cV_D \propto E_g \rightarrow$ Absehlebung $d_p; d_n$

$$\frac{e}{2\epsilon\epsilon_0} \left(N_D d_n^2 + N_A \cdot \frac{N_D^2}{N_A^2} d_n^2 \right) = \frac{e}{2\epsilon\epsilon_0} \left(N_D + \frac{N_D^2}{N_A} \right) d_n^2 = V_D$$

$$\rightarrow \boxed{d_n^2 = \frac{2\epsilon\epsilon_0 V_D}{e} \frac{N_A / N_D}{N_A + N_D}}$$

Analog

$$\boxed{d_p^2 = \frac{2\epsilon\epsilon_0 V_D}{e} \frac{N_D / N_A}{N_A + N_D}}$$

Beispiel-Rechnung: $E_g = 1V$

$$N_A = N_D = 10^{14} \frac{1}{\text{cm}^3} \Rightarrow d_n \approx d_p = 10^4 \text{ \AA} = 10^{-6} \text{ m}$$

$$N_A = N_D = 10^{18} \frac{1}{\text{cm}^3} \Rightarrow d_n \approx d_p = 10^2 \text{ \AA} = 10^{-8} \text{ m}$$

Die el. Feldstärke bei $z=0$ beträgt

$$E = 10^6 \frac{V}{m} \dots 10^8 \frac{V}{m}$$

$$(100.000 \frac{V}{m})$$

8.4.6 pn-Übergang mit Spannung

§.17

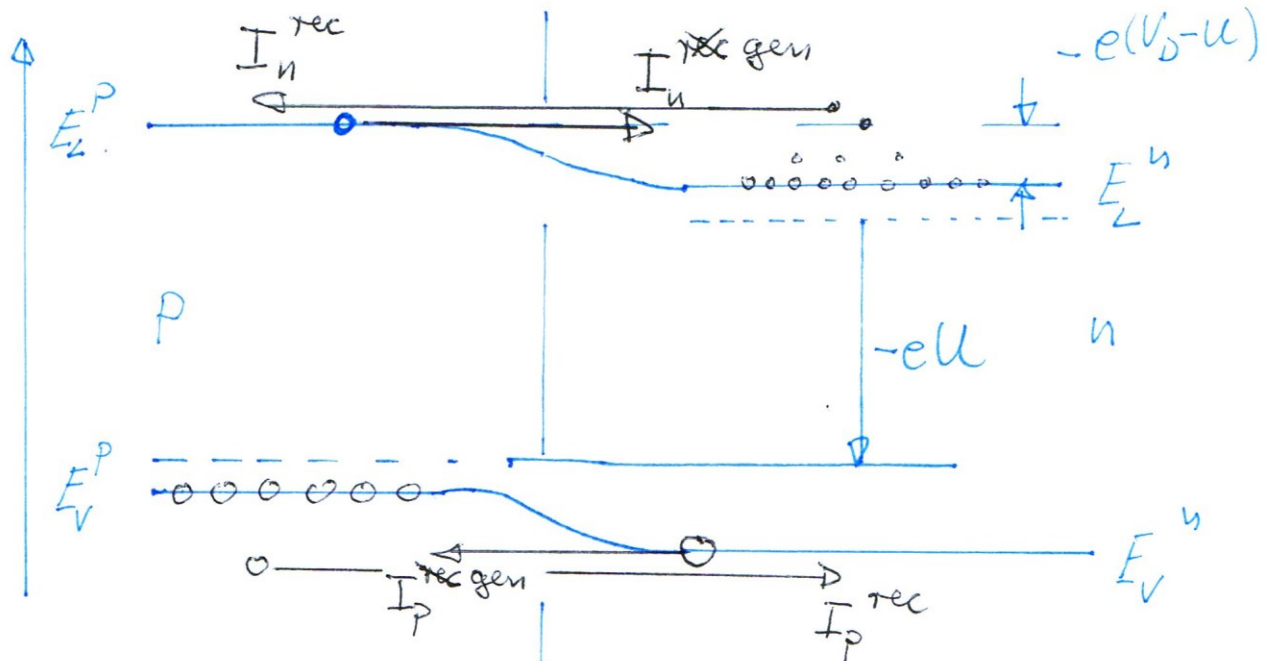
$$V_n(\infty) - V_p(-\infty) = V_D - U$$

$\epsilon l < E_g \rightarrow$ Beschreibung wie vor mit
 $V_D \rightarrow V_D - U$

$$d_n(U) = d_n(U=0) \cdot \sqrt{\frac{V_D - U}{V_D}}$$

$$d_p(U) = d_p(U=0) \cdot \sqrt{\frac{V_D - U}{V_D}}$$

$$U \neq 0 \Rightarrow I_{Feld} + I_{Diff}$$



I_n^{gen} : Generationstrom, der in p generierten Minoritätsladungsträger \cong Feldstrom; I_n^{gen} unabh. v. U

I_n^{rec} : Rekombinationsstrom

Elektronen müssen gegen die Potential-Schwelle anlaufen

Bridteil, der das schafft:

$$I_n^{\text{rec}} \propto e^{-\frac{e(V_0 - U)}{kT}}$$

$$I_n^{\text{rec}}(U=0) = I_n^{\text{gen}}(U=0) = I_n^{\text{gen}}(U \neq 0)$$

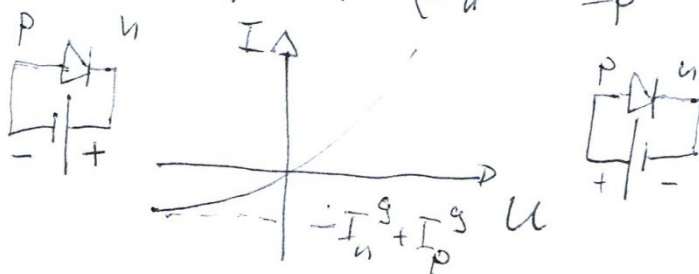
$$\rightarrow I_n^{\text{rec}} = I_n^{\text{gen}} e^{\frac{eU}{kT}}$$

=> Gesamter Elektronenstrom:

$$I_n = I_n^{\text{rec}} + I_n^{\text{gen}} = I_n^{\text{gen}} \left(e^{\frac{eU}{kT}} + 1 \right)$$

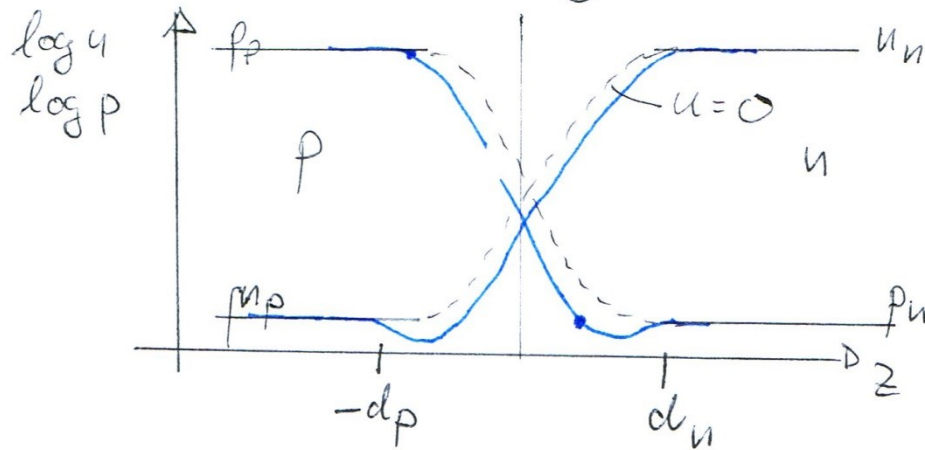
Gesamter Strom

$$I(U) = (I_n^{\text{gen}} + I_p^{\text{gen}}) \left(e^{\frac{eU}{kT}} - 1 \right)$$



Qualitatives Ergebnis, aber wie groß ist $I_{n/p}^{\text{gen}}$?

Quantitative Belebung d. Sperrschw.



$$\vec{j}_p^{\text{Diff}}(z=d_n) = -e D_p \frac{\partial p}{\partial z} \Big|_{z=d_n}$$

$$p(z=d_n) = p_n e^{\frac{cu}{kT}}$$

Kontinuitätsbedingung für Löcher:

$$\frac{\partial p}{\partial t} = -\frac{1}{e} \operatorname{div}_z \vec{j}_p^{\text{Diff}} - \frac{p - p_n}{\tau_p}$$

mittl. Lösungsdauer $\bar{\tau}_p$

stat. Gleichgewicht:

$$\begin{aligned} \frac{\partial p}{\partial t} = 0 &= -\frac{1}{e} \operatorname{div}_z \left(\vec{j}_p^{\text{Diff}} \right) - \frac{p - p_n}{\tau_p} \\ &= -\frac{1}{e} \operatorname{div}_z \left(-e D_p \frac{\partial p}{\partial z} \right) - \frac{p - p_n}{\bar{\tau}_p} \\ &= D_p \frac{\partial^2 p}{\partial z^2} - \frac{p - p_n}{\bar{\tau}_p} = 0 \end{aligned}$$

$$\frac{\partial^2 p}{\partial z^2} = \frac{1}{D_p \bar{\tau}_p} (p - p_n) \quad \text{Diff.-Gleichung.}$$

$$p(z) \propto e^{-\frac{z}{\sqrt{D_p L_p}}}$$

$$\sqrt{D_p L_p} = L_p$$

Diff. - Lange

$$-\frac{\partial p}{\partial z} \Big|_{z=d_u} = \frac{p(z=d_u) - p_u}{L_p}$$

$$p(z=d_u) - p_u = p_u \left(e^{\frac{eU}{kT}} - 1 \right)$$

$$\Rightarrow j_p^{\text{Diff}}(z=D_u) = \frac{e^{D_p}}{L_p} p_u \left(e^{\frac{eU}{kT}} - 1 \right)$$

$$\Rightarrow j(u) = \left(\frac{e^{D_p}}{L_p} p_u + \frac{e^{D_u}}{L_u} n_p \right) \left(e^{\frac{eU}{kT}} - 1 \right)$$

8.5. Exp. Bestimmung d. Störstellen-Konzentration

Kapazitäts-Diode

Ladung in der Raumladungszone

$$Q = e N_D \cdot \underbrace{d_n(u)}_{\text{Ladungsdichte}} \cdot \underbrace{A}_{\text{Volumen}}$$

Kapazität:

$$C = \left| \frac{dQ}{dU} \right| = e N_D A \left| \left(\frac{d}{dU} d_n(u) \right) \right|$$

$$\frac{d}{dU} d_n = \frac{d}{dU} \left(d_n(u=0) \sqrt{1 - \frac{u}{V_D}} \right)$$

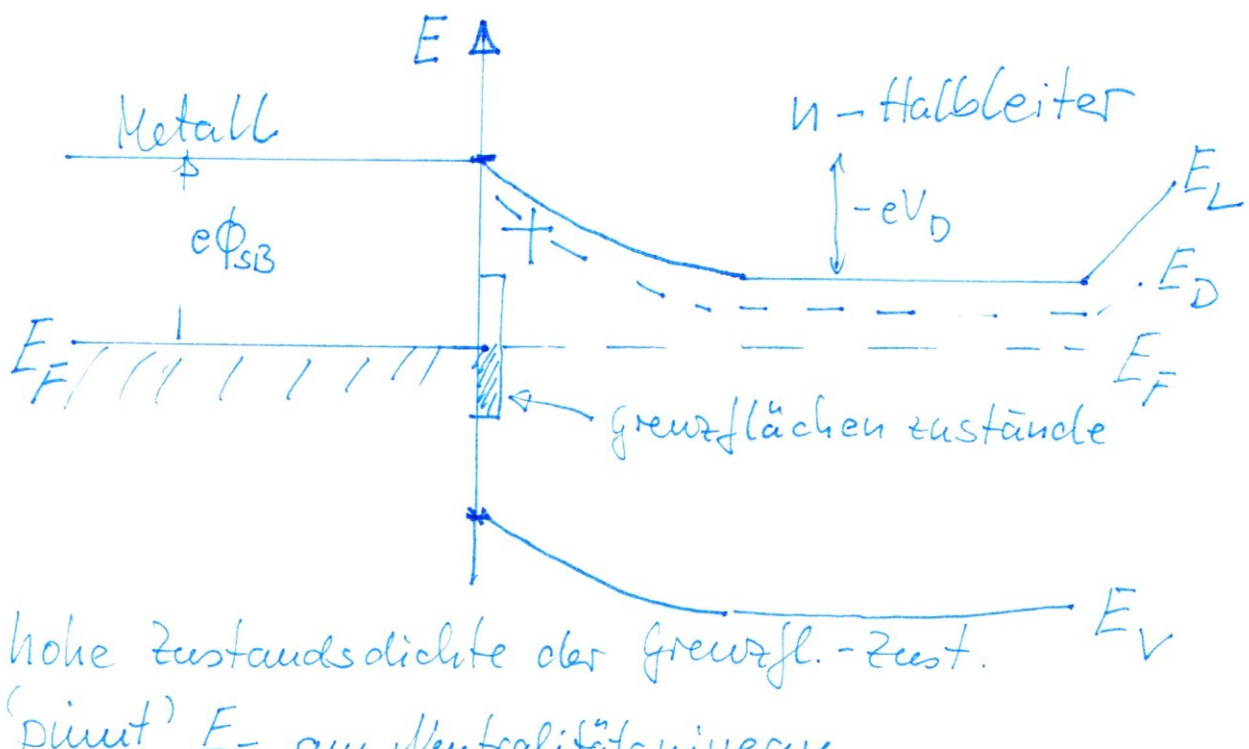
$$= -\frac{1}{2V_D} d_n(0) \frac{1}{\sqrt{1 - \frac{u}{V_D}}}$$

$$= -\frac{1}{2V_D} \sqrt{\frac{2\epsilon\epsilon_0 V_D}{e}} \frac{N_A/N_D}{N_A + N_D} \frac{1}{\sqrt{1 - u/V_D}}$$

$$\hookrightarrow C = \frac{A}{2} \sqrt{\frac{N_A/N_D}{N_A + N_D} \cdot \frac{2e\epsilon\epsilon_0}{V_D - u}} \rightarrow N_A \text{ wenn } N_D \text{ bekannt.}$$

$$\boxed{C = \text{const} \times \frac{1}{\sqrt{V_D - u}}}$$

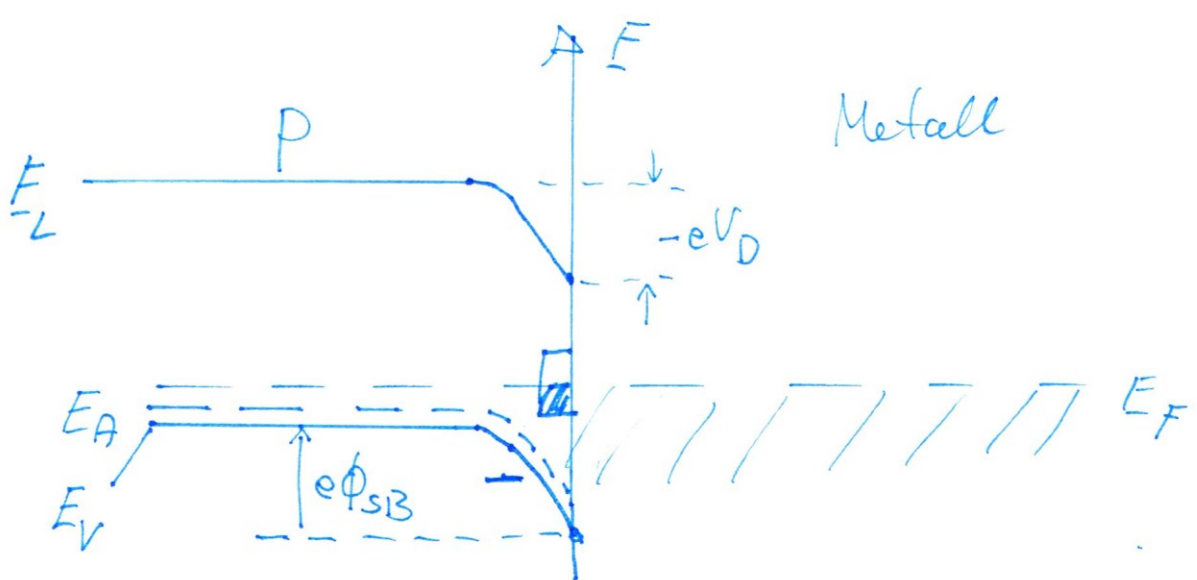
Halbleiter-Metall Kontakt



$e\phi_{SB}$: Schottky-Barriere

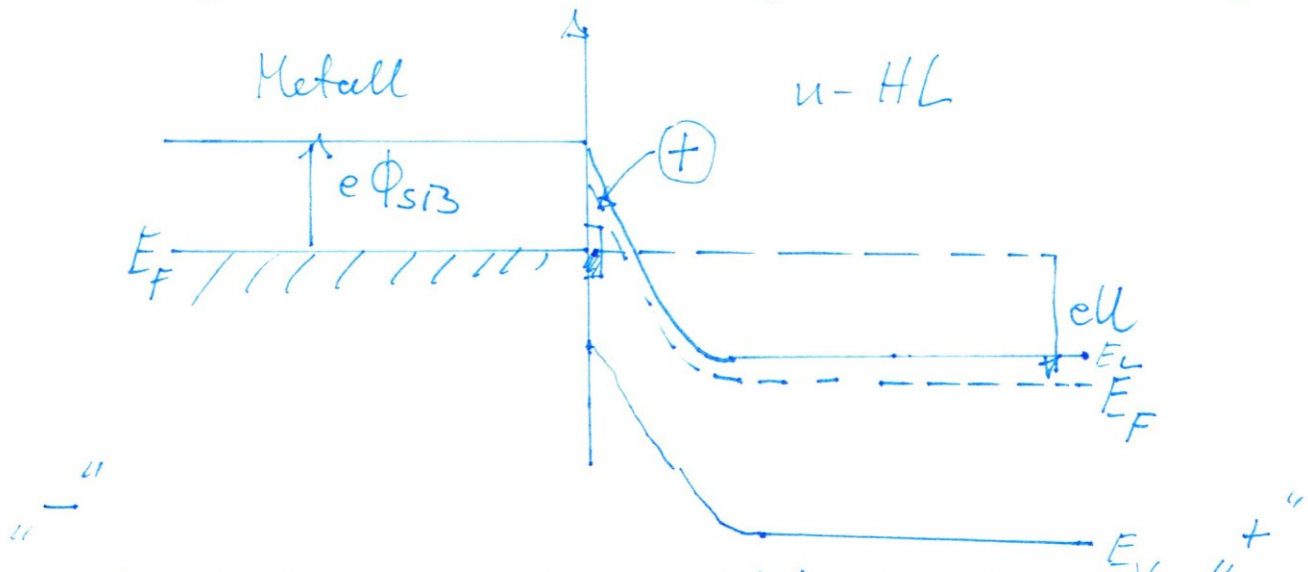
Raumladung Q_{RL} wird durch Ladung der Grenzfl.-Zustände ausgeglichen. $e\phi_{SB}$ hängt kaum von äußeren Feldern oder Dotierung ab.

„Hälfte“ eines p-n Übergangs; p-HL durch Metall ersetzt.



$$(e\phi_{SB})_p + (e\phi_{SB})_n \approx E_g$$

Anlegen einer Spannung (Sperr-Richtung)



Obwohl die Energie niedriger ist im HL fließt
keinen Strom.

Für Stromtransport muss die Schottky - Barriere
überwunden werden.

$N_A \gg N_D$ (N_A quasi im Metall!)

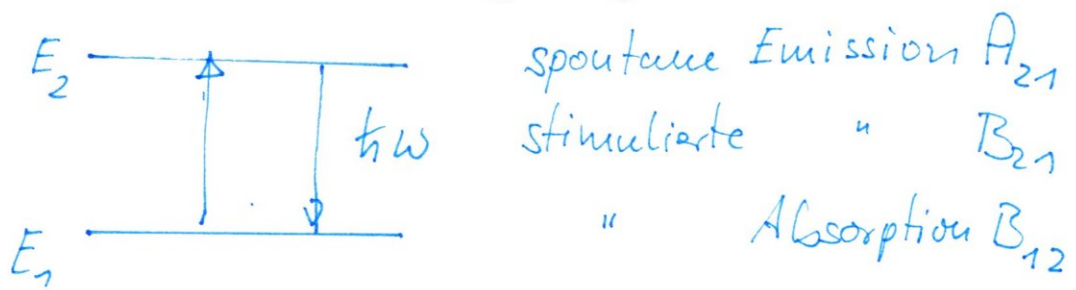
$$d_n(U) = \sqrt{\frac{2\epsilon\epsilon_0 V_D}{c N_D}} \left(1 - \frac{U}{V_D}\right)$$

$$C = \frac{A}{2} \sqrt{\frac{2\epsilon\epsilon_0 N_D}{V_D}}$$

8.6. Halbleiter - Laser

8.24

Allgem. Laser-Bedingung



Besetzungszahlen der Niveaus E_1 und E_2 : n_1, n_2

Stationärer Zustand:

$$\begin{aligned} \dot{n}_2 &= -B_{21}n_2 |\mathcal{E}(\omega)|^2 - A_{21}n_2 + B_{12}n_1 |\mathcal{E}(\omega)|^2 \\ &= -\dot{n}_1 = 0 \end{aligned}$$

$$B_{21} = B_{12} \Rightarrow$$

$$\dot{n}_2 = -(n_2 - n_1) B_{12} |\mathcal{E}(\omega)|^2 - \underbrace{A_{21} n_2}_{\rightarrow 0}$$

in Vgl. zu dem
1. Term.

Laserbedingung

$$\dot{n}_2 < 0 \rightarrow \text{dazu ist } n_2 > n_1 \text{ notwendig}$$

\rightarrow Besetzungsinversion

Übertragung der Bedingung auf HL.:

$E_L \uparrow \downarrow D_L(E_L) \cdot f(E_L)$: Aus. besetzter Zustände im Leitungsbereich

$E_V \searrow D_V(E_V) \cdot \cancel{f}(1-f(E_V))$: Aus. unbesetzter Zustände im Valenzbereich.

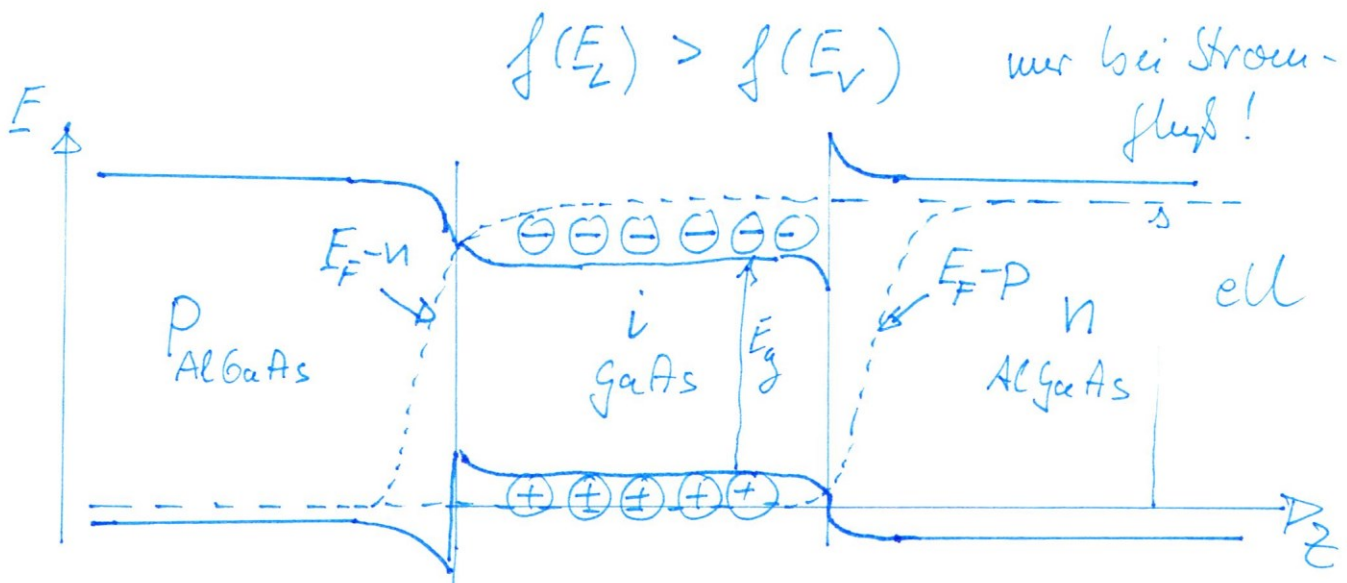
$$-B_{21} D_L(E_L) D_V(E_V) f(E_L) (1-f(E_V)) +$$

$$+ B_{12} D_V(E_V) D_L(E_L) f(E_V) (1-f(E_L)) < 0$$

Laserbedingung

$$B_{21} = B_{12}$$

$$\Rightarrow f(E_L) (1-f(E_V)) > f(E_V) (1-f(E_L))$$



Quasi-Fermi-Niveaus für Elektronen $E_F - n (E_F^{'})$
und Löcher $E_F - p (E_F^{'})$

$$f(E_L) = \frac{1}{e^{(E_L - E_F^N)/kT} + 1}$$

$$f(E_V) = \frac{1}{e^{(E_V - E_F^P)/kT} + 1}$$

$$E_F^N - E_F^P > E_L - E_V = E_g$$

Aufliegende Spannung U :

$$\underline{eU = E_F^N - E_F^P > E_g} \quad (= 1.4 \text{ eV f. GaAs})$$